

01;11

## **Сингулярное интегральное уравнение для плотности тока на поверхности полоскового вибратора, расположенного в свободном пространстве**

© Д.С. Ключев, С.А. Коршунов, Д.В. Мишин, С.В. Ситникова,  
Ю.В. Соколова

Поволжский государственный университет телекоммуникаций  
и информатики, Самара, Россия  
E-mail: klyuevd@yandex.ru

Поступило в Редакцию 22 февраля 2018 г.

Задача о распределении плотности тока на поверхности полоскового вибратора, расположенного в свободном пространстве, сведена к сингулярному интегральному уравнению с особенностью Коши. Представлены графики распределения тока на поверхности такого вибратора при различных значениях его длины.

DOI: 10.21883/PJTF.2018.12.46287.17264

На практике широко применяются вибраторные антенны. Их используют в качестве отдельных антенн и в составе многоэлементных антенн и антенных решеток. В настоящее время опубликовано огромное количество работ, посвященных анализу и синтезу таких антенн. Несмотря на то что такие антенны известны уже более ста лет, интерес исследователей к ним не ослабевает [1–5]. Однако в большинстве работ освещены вопросы, связанные с цилиндрическими вибраторами. Здесь следует отметить, что кроме цилиндрических вибраторов нашли широкое применение и полосковые, изготавливаемые из металлических полос. Характеристики направленности вибраторов обоих типов практически идентичны, но значения токов на их поверхностях, в частности в точке питания, различаются существенно. Этим фактом обусловлено различие их входных сопротивлений.

В настоящей работе описан метод расчета распределения тока на поверхности полоскового вибратора (ПВ), расположенного в свободном пространстве.

В качестве ПВ (рис. 1) рассмотрим проводящую полоску длиной  $2l$  и шириной  $2a$ , возбуждаемую сторонней ЭДС, приложенной в области разрыва длиной  $2b$ . Поскольку полоска узкая ( $2a \ll 2l, \lambda$ , где  $\lambda$  — длина волны) и возбуждается только продольной составляющей напряженности электрического поля  $E_x^{ext}$ , поперечная составляющая поверхностной плотности тока  $\eta_y$  будет пренебрежимо мала по сравнению с продольной  $\eta_x$ . На поверхности ПВ должно выполняться граничное условие

$$E_x(x, y) = \begin{cases} 0, & x \in [-l, l_0 - b] \cup [l_0 + b, l], y \in [-a, a], \\ -E_x^{ext}, & x \in [l_0 - b, l_0 + b], y \in [-a, a], \end{cases} \quad (1)$$

где  $E_x^{ext}$  — напряженность стороннего электрического поля в зазоре ПВ,  $l_0$  — координата центра зазора (точки питания).

Учитывая граничное условие (1), для поверхности ПВ можно записать следующее выражение [6]

$$-i\omega\varepsilon\varepsilon_0 E_x^{ext} = k^2 A_x + \frac{\partial^2 A_x}{\partial x^2}, \quad (2)$$

где

$$A_x(x, y; x', y') = \int_{-a}^a \int_{-l}^l \eta_x(x', y') G(x, y, z = 0; x', y', x' = 0) dx' dy', \quad (3)$$

$A_x$  —  $x$ -составляющая векторного электродинамического потенциала, создаваемая током с поверхностной плотностью  $\eta_x$ ;  $\omega$  — циклическая частота;  $\varepsilon$  — относительная диэлектрическая проницаемость среды, окружающей ПВ;  $\varepsilon_0$  — электрическая постоянная;  $k$  — волновое число;  $G$  — функция Грина свободного пространства [1],

$$G(x, y, z; x', y') = \frac{1}{8\pi^2} \int_{-\infty}^{\infty} \int_{-\infty}^{\infty} \frac{\exp(-i\chi_1(x - x') - i\chi_2(y - y'))}{\sqrt{\chi_1^2 + \chi_2^2 - k^2}} d\chi_1 d\chi_2. \quad (4)$$

Поперечное распределение продольной составляющей поверхностной плотности тока  $\eta_x$  для узких полосок можно считать квазистатическим [7]

$$\eta_x(x, y) = \frac{f(x)}{\sqrt{a^2 - y^2}}, \quad (5)$$

где  $f(x)$  — функция, описывающая продольное распределение тока.

Подставим (4), (5) в (3) и положим  $y = 0$ , так как выражение (3) справедливо для любой точки на поверхности ПВ:

$$A_x(x, y = 0; x', y') = \frac{1}{8\pi^2} \int_{-\infty}^{\infty} \int_{-\infty}^{\infty} \left[ \int_{-a}^a \frac{\exp(i\chi_2 y')}{\sqrt{a^2 - y'^2}} dy' \right] \times \int_{-l}^l f(x') \frac{\exp(-i\chi_1(x - x'))}{\sqrt{\chi_1^2 + \chi_2^2 - k^2}} dx' d\chi_1 d\chi_2, \quad (6)$$

а затем, подставив полученное выражение (6) в (2), взяв аналитически интеграл по  $y'$  [8] и выполнив ряд математических преобразований, получим

$$i\omega\epsilon\epsilon_0 E_x^{ext} = \frac{1}{8\pi} \int_{-l}^l f(x') \int_{-\infty}^{\infty} \int_{-\infty}^{\infty} (k^2 - \chi_1^2) \times \frac{\exp(-i\chi_1(x - x'))}{\sqrt{\chi_1^2 + \chi_2^2 - k^2}} J_0(a\chi_2) d\chi_1 d\chi_2 dx'. \quad (7)$$

Перейдем к производной  $f(x')$ . Для этого в (7) возьмем интеграл по  $x'$  по частям, учитывая при этом, что плотность тока на концах полоски равна нулю и то, что интеграл по  $\chi_2$  можно взять аналитически [9]:

$$-i\omega\epsilon\epsilon_0 E_x^{ext} = \frac{1}{4\pi i} \int_{-l}^l f'(x') \int_{-\infty}^{\infty} f'(x') \int_{-\infty}^{\infty} \frac{\chi_1^2 - k^2}{\chi_1} \times I_0\left(\frac{a\sqrt{\chi_1^2 - k^2}}{2}\right) K_0\left(\frac{a\sqrt{\chi_1^2 - k^2}}{2}\right) \exp(-i\chi_1(x - x')) d\chi_1 dx', \quad (8)$$

где  $I_0$  — модифицированная функция Бесселя,  $K_0$  — функция Макдональда.

В дальнейшем для удобства будем использовать безразмерные переменные  $t = x/l$ ,  $t' = x'/l$ ,  $h = \chi_1 a$  и перепишем уравнение (8) в

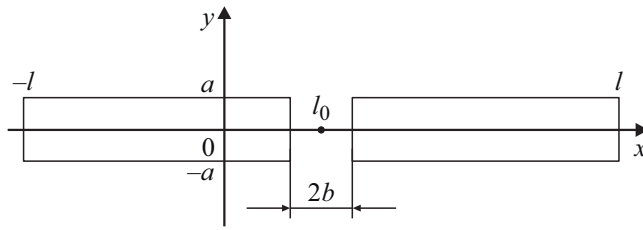


Рис. 1. Геометрия полоскового вибратора.

следующем виде:

$$-i\omega\varepsilon\varepsilon_0 E_x^{ext} = \int_{-1}^1 f'(t') G(t, t') dt', \quad (9)$$

где

$$G(t, t') = \frac{1}{4\pi a^2 i} \int_{-\infty}^{\infty} g(h) e^{-ih \frac{l}{a} (t-t')} dh, \quad (10)$$

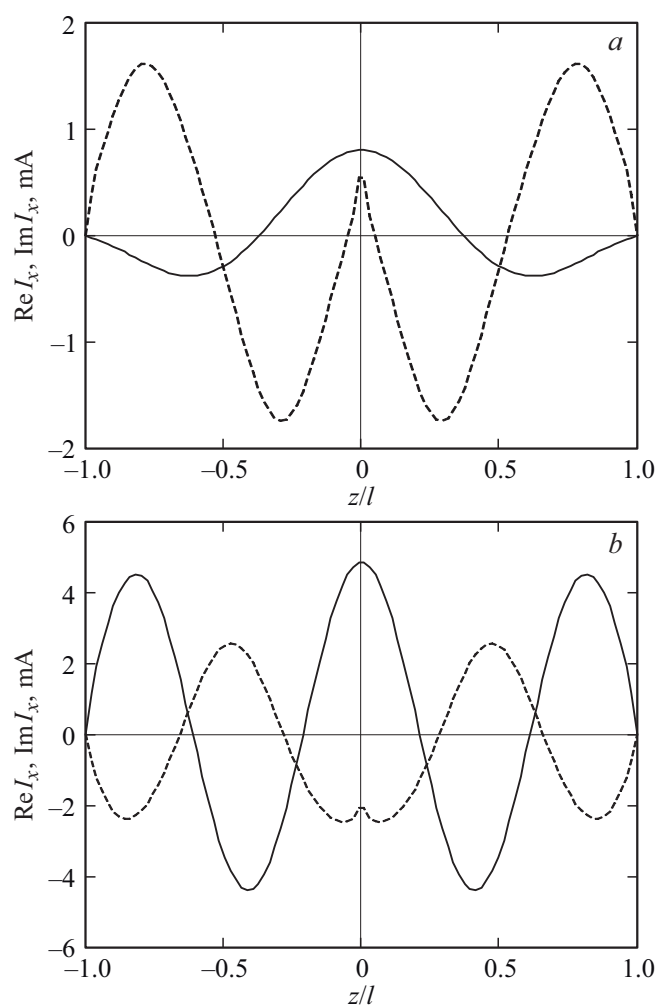
$$g(h) = \frac{h^2 - (ka)^2}{h} I_0 \left( \frac{\sqrt{h^2 - (ka)^2}}{2} \right) K_0 \left( \frac{\sqrt{h^2 - (ka)^2}}{2} \right).$$

Интеграл по  $h$  в (10) является расходящимся, так как асимптотическое представление  $g(h)$  при  $h \rightarrow \infty$  имеет вид

$$g(h) \xrightarrow{|h| \rightarrow \infty} g_{\infty}(h) = \text{sgn}(h). \quad (11)$$

Для аналитического выделения особенности в (10) в подынтегральном выражении прибавим и вычтем слагаемые с асимптотическим множителем  $g_{\infty}(h)$ :

$$G(t, t') = \frac{1}{4\pi a^2 i} \int_{-\infty}^{\infty} \left[ \frac{h^2 - (ka)^2}{h} I_0 \left( \frac{\sqrt{h^2 - (ka)^2}}{2} \right) K_0 \left( \frac{\sqrt{h^2 - (ka)^2}}{2} \right) \right. \\ \left. - \text{sgn}(h) \right] \exp(-ih \frac{l}{a} (t - t')) dh + \frac{1}{4\pi a^2 i} \int_{-\infty}^{\infty} \text{sgn}(h) e^{-ih \frac{l}{a} (t-t')} dh. \quad (12)$$



**Рис. 2.** Распределение тока на поверхности симметричного полоскового вибратора длиной  $2l = 2\lambda$  (a) и  $2.5\lambda$  (b). Сплошная линия — действительная часть, штриховая — мнимая. Ширина вибратора  $2a = 0.02\lambda$ , ширина зазора  $2b = 0.02\lambda$ .

Так как [10]

$$\int_{-\infty}^{\infty} \operatorname{sgn}(h) e^{-ih\frac{l}{a}(t-t')} dh = \frac{2i(a/l)}{t'-t},$$

можно (12) переписать в виде

$$G(t, t') = \frac{1}{4\pi a^2 i} \int_{-\infty}^{\infty} \left[ \frac{h^2 - (ka)^2}{h} I_0\left(\frac{\sqrt{h^2 - (ka)^2}}{2}\right) K_0\left(\frac{\sqrt{h^2 - (ka)^2}}{2}\right) - \operatorname{sgn}(h) \right] \exp\left(-ih\frac{l}{a}(t-t')\right) dh + \frac{1}{2\pi a^2} \frac{(a/l)}{t'-t}. \quad (13)$$

Подставляя (13) в (9) и выполняя ряд математических преобразований, получаем следующее сингулярное интегральное уравнение (СИУ) с особенностью Коши.

$$-i2a\omega\varepsilon_a E_x^{ext} = \int_{-1}^1 f'(t') R(t, t') dt' + \frac{1}{\pi} \int_{-1}^1 \frac{f'(t')}{t'-t} dt', \quad (14)$$

где

$$R(t, t') = \frac{1}{2\pi i} \frac{l}{a} \int_{-\infty}^{\infty} \left[ \frac{h^2 - (ka)^2}{h} I_0\left(\frac{\sqrt{h^2 - (ka)^2}}{2}\right) K_0\left(\frac{\sqrt{h^2 - (ka)^2}}{2}\right) - \operatorname{sgn}(h) \right] \exp\left(-ih\frac{l}{a}(t-t')\right) dh.$$

Методы решения уравнений, аналогичных (14), подробно описаны, например, в [11].

В качестве примера были рассчитаны распределения тока на поверхности ПВ длиной  $2l = 2\lambda$  (рис. 2, *a*) и  $2l = 2.5\lambda$  (рис. 2, *b*). Расчеты проведены при следующих геометрических размерах антенны: ширина ПВ  $2a = 0.02\lambda$ , ширина зазора  $2b = 0.02\lambda$ . Напряжение в зазоре  $V = 1$  В. Диэлектрическая проницаемость окружающего пространства  $\varepsilon = 1$ . Ток определялся по формуле

$$I_x(x) = \int_{-a}^a \eta_x(x, y) dy = f(x) \int_{-a}^a \frac{1}{\sqrt{1 - (x/a)^2}} dx = \pi a f(x).$$

Для сравнения были рассчитаны входные сопротивления полоскового и цилиндрического вибраторов длиной  $2l = 2\lambda$  и шириной (диаметром)  $2a = 0.02\lambda$ : у полоскового —  $609.649 - i621.464 \Omega$ , у цилиндрического —  $261.408 - i406.186 \Omega$ .

Таким образом, предложенный в работе метод позволил свести внутреннюю задачу анализа ПВ, а именно задачу определения функции распределения плотности тока на его поверхности, к одномерному СИУ с особенностью Коши. Численное решение СИУ относится к классу корректных математических задач по Адамару [12]. Алгоритмы решения СИУ обладают высокой устойчивостью и быстрой сходимостью. Теперь, решив внутреннюю задачу анализа, можно без особых проблем решить внешнюю задачу и найти все характеристики такой антенны. Предложенный метод можно обобщить на многоэлементные вибраторные антенны и антенные решетки.

## Список литературы

- [1] Горобец Н.Н., Елисеева Н.П. // Радиотехника и электроника. 2013. Т. 58. № 8. С. 749–758.
- [2] Табаков Д.П., Морозов С.В., Неганов В.А. // Физика волновых процессов и радиотехнические системы. 2017. Т. 20. № 2. С. 4–13.
- [3] Эминов С.И., Социлин А.В. // Вестн. Новгород. гос. ун-та им. Ярослава Мудрого. 2015. № 8 (91). С. 26–34.
- [4] Igusa K., Sawada H., Kojima F. // IEEE Transact. Antennas Propagation. 2018. V. 66. Iss. 2. P. 984–989.
- [5] Bakhtafrouz A., Borji A. // IET Microwaves, Antennas & Propagation. 2015. V. 9. Iss. 14. P. 1567–1573.
- [6] Марков Г.Т., Чаплин А.Ф. Возбуждение электромагнитных волн. М.—Л.: Энергия, 1967. 376 с.
- [7] Неганов В.А., Нефедов Е.И., Яровой Г.П. Полосково-щелевые структуры сверх- и крайневых частот. М.: Наука, Физматлит, 1996. 304 с.
- [8] Прудников А.П., Брычков Ю.А., Маричев О.И. Интегралы и ряды. Элементарные функции. М.: Наука, 1981. 798 с.
- [9] Прудников А.П., Брычков Ю.А., Маричев О.И. Интегралы и ряды. Специальные функции. М.: Наука, 1983. 752 с.
- [10] Гахов Ф.Д., Черский Ю.И. Уравнения типа свертки. М.: Наука, 1978. 296 с.
- [11] Дементьев А.Н., Клюев Д.С., Неганов В.А., Соколова Ю.В. Сингулярные и гиперсингулярные интегральные уравнения в теории зеркальных и полосковых антенн. М.: Радиотехника, 2015. 216 с.
- [12] Тихонов А.Н., Арсенин В.Я. Методы решения некорректных задач. М.: Наука, 1979. 288 с.